



と接線成分 $P_t$ に分けて示してある。この図から、両壁変位様式間で、(a)  $P_n$ の特性にわずかな差はあるが、これらの間に大差はない、(b) 土圧合力の差か点は平行移動の方が上方に位置している、(c)  $P_t$ は同一 $\bar{d}$ において、回転変位の方が平行移動における値の2倍近く発揮されていることがわかる。

土圧特性と、このような差がみられる理由を壁変位に応じる粘土質の変形から検討してみる。写真-1は粘土と土槽剛壁との間の摩擦を軽減するために、側壁内面に貼ったグリースを塗ったビニールシート上に描いた格子模様の壁変位に応じる変形の一別である。このような写真から、各壁変位の位置における格子要素の最大せん断ひずみ $\gamma_{max}$ を求め、図-3に示した土中土圧計の掘付け位置を通り、可動壁に平行な鉛直断面に沿う $\gamma_{max}$ と土中土圧の分布を示すと、一例は図-3のようになる。 $\gamma_{max}$ と $P_n$ の分布特性は良好な対応関係を示している。これより、格子要素の $\gamma_{max}$ 分布は粘土中に発生する土圧の分布性状を定性的にあらわしていると考えられる。なお、Sokolovski法により与えられるオベリ面上に位置すると思われる土圧計(図-3のE)は $\bar{d}=5.0\text{cm}$ で最大値を示し、このときこの位置に対応する格子要素の $\gamma_{max}$ は0.2~0.3のオーダーであった。

図-4は、 $\bar{d}=1.0, 3.0, 8.0\text{cm}$ のそれぞれにおける各格子要素の $\gamma_{max}$ を示している。この図をよくみると、壁の変位に伴うせん断ひずみの発生状況が、壁の変位様式によって図-5に示すように異なっていることがわかる。すなわち、平行移動では、壁の変位により壁頂部と壁下部部において、まず比較的大きいせん断ひずみが発生し、その後これらの領域が大きくなっていく。一方、回転変位では、このような領域の発生は、壁下部部からのみである。このようなせん断ひずみ分布の差が、壁面に沿う土圧に反映されて、平行移動における合力の着点と上方に位置させ、回転変位におけるより大きな $P_t$ を発生させたと考える。

#### 4. おおひ

壁の変位様式により、粘土中のせん断ひずみの発生状況が異なり、これが土圧合力の $P_n$ ,  $P_t/H$ に大きな影響を与えることが定性的にわかった。しかしながら、 $P_n$ の大きさに依り、両変位様式において大差はない。

文献) 市原, 木沢, 水谷 "地震時受動土圧装置" 第28回土木学会年次学術講演会講演要録集, 昭和48年10月, pp. 376~377. (抄3部)  
 市原, 木沢, 水谷 "粘性土の受動土圧" 第29回土木学会年次学術講演会講演要録集 (抄3部), 昭和49年10月, pp. 240~241.

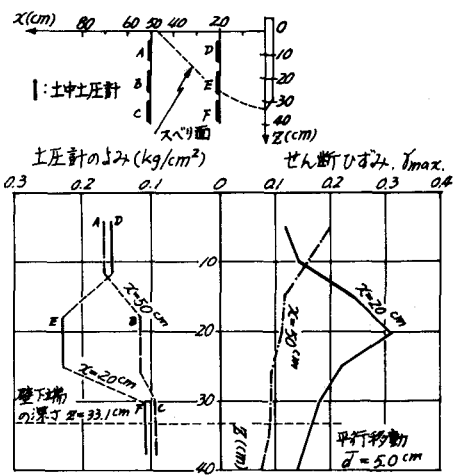


図-3

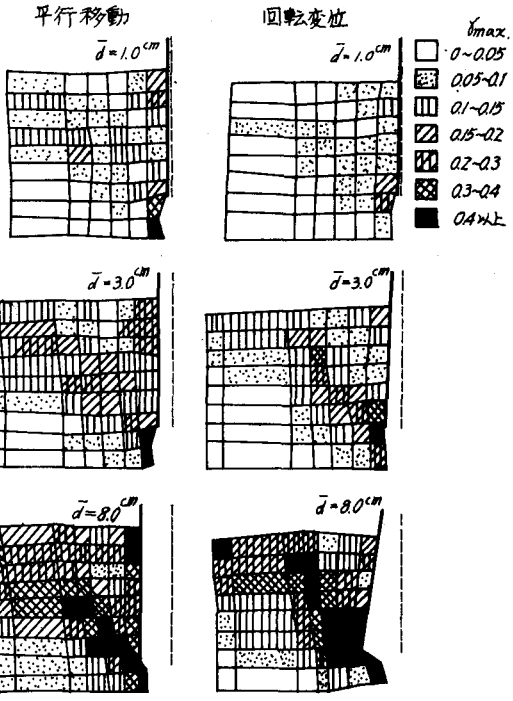


図-4

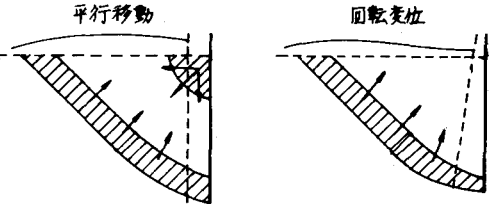


図-5